

بِسْمِ اللّٰهِ الرَّحْمٰنِ الرَّحِيْمِ

١٠٨٢١٧

دانشگاه تبریز
مجتمع فنی و مهندسی
دانشکده مهندسی معدن و متالورژی

پایان نامه
برای دریافت درجه کارشناسی ارشد
مهندسی اکتشاف معدن

ارزیابی پتانسیل معنی محدوده ۱:۲۵۰۰۰۰ انار با تلفیق
داده های ژئوفیزیک هوایی و دورسنجی

استادان راهنمای:

دکتر عبدالحمید انصاری
دکتر امیرحسین کوهساری

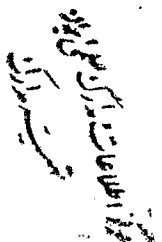
استاد مشاور:

مهندس سید زین العابدین حسینی

۱۳۸۷ / ۹ / ۲۴

پژوهش و نگارش:
سید رضا بهادری

۸۴۰۲۴۰۴



اسفند ماه ۱۳۸۶

۱۰۸۲۱۶



وَمِنَ الْجِبَالِ جُدُدٌ بِيَضٍ وَّحُمَرٍ
مُخْتَلِفٌ أَلْوَانُهَا وَغَرَابِيبُ سُودٍ

۱۳۸۷ / ۹ / ۲۲

و در زمین از کوهها طرق زیاد سفید و سرخ بیافرید که رنگهاشان
گوناگون است و در نهایت سیاهی را آفرید. (سوره فاطر آیه ۲۷)

تقدیم به:

پدر بزرگ که در همه مراحل زندگی مشوق و پشتیبانم بوده و
پدر و مادرم که به من زندگی آموختند و تقدیم به همسرم
که به من دوست داشتن آموخت و من را صمیمانه در به پایان
رسانیدن این پایان نامه مانند همه لحظات زندگی یاری کرد.

تشکر و قدردانی

الحمد لله الذي يفعل ما يشاء ولا يفعل ما يشاء غيره

سپاس پروردگار یکتا را که با وجود تمامی مشکلات اینجانب را در به پایان رسانیدن این پایان نامه یاری فرمود. این مجموعه را با اشاره و خواست او آغاز نمودم و درسایه عنایت ویاریش که بسیار بیش از لیاقتمن بود به پایان رساندم. در این راه بزرگوارانی یار و همراه من بودند که وظیفه خود می دانم با ذکر نام آنان، تشکر و قدردانی خود را نسبت به آنان بیان کرده باشم. دعای خیر من بدرقه راهشان و امیدوارم در تمام مراحل زندگی خود موفق، سالم و سربلند باشند.

در ابتدا از زحمات بی پایان جناب آقایان دکتر عبدالحمید انصاری و دکتر امیر حسین کوهساری استادان محترم راهنمای پایان نامه که در همه مراحل مرا یاری کردند کمال سپاس و تشکر را دارم و از خدای منان نهایت سربلندی و خوشبختی در زندگی را برای ایشان خواستارم.

از زحمات جناب آقای مهندس سید زین العابدین حسینی، استاد محترم مشاور پایان نامه که با دلسوزی تمام مرا در اتمام این پایان نامه یاری کردند، نهایت تشکر و قدردانی را دارم. از همکاری و زحمات فراوان دوستان عزیزم جناب آقایان مهندس مجید تقی زاده، ایمان بهنام و جواد دهقانی نیز کمال سپاس و قدردانی را دارم و آرزوی خوشبختی برای آنها می نمایم.

از همکاری مسئولین بخش ژئوفیزیک هوایی سازمان زمین شناسی و اکتشافات معدنی کشور، سرکار خانم های مژگان علوی و نسرین امیر طالبی و آقایان مهندس کره ای، محمدی، ریاحی و خیرالله که در دادن داده های مغناطیس هوایی مرا یاری کردند، کمال سپاس و قدردانی را دارم. از جناب آقای مهندس شهاب پورصالح که تصاویر ماهواره ای مورد نیاز پایان نامه را در اختیارم گذاشتند نیز کمال سپاس و قدردانی را دارم و آرزومند خوشبختی ایشان هستم.

از خانواده عزیزم، پدرم، مادرم، برادرم و به خصوص پدربرزگ عزیزم جناب آقای سید علی بهادری که همیشه یار و یاور و همدم من در تمام مراحل زندگی بودند تشکر و قدردانی می نمایم. و در نهایت از زحمات همسر مهربان و عزیزم خانم مریم تورکمان که همسفر راه و همراه همیشگی من است و در انجام این پایان نامه خیلی مرا یاری کردند، کمال قدردانی را دارم.

بسمه تعالیٰ



مدیریت تحصیلات تکمیلی

صور تجلیسه دفاعیه پایان نامه دوره کارشناسی ارشد

جلسه دفاعیه پایان نامه تحصیلی خانم / آقای سید رضا بهادری

دانشجوی کارشناسی ارشد مجتمع فنی و مهندسی دانشگاه یزد ، در رشته / گرایش اکتشاف معدن

تحت عنوان: ارزیابی پتانسیل معدنی محدوده ۱:۲۵۰۰۰۰ آثار با تلفیق داده های ژئوفیزیک و دور سنجی

و تعداد واحد: ۶ در تاریخ: ۸۶/۱۲/۱۴

امضاء

نام و نام خانوادگی

دکتر عبدالحمید انصاری

۱- استاد راهنمای اول

دکتر امیر حسین کوهساری

۲- استاد راهنمای دوم

سید
مهندس زین العابدین حسینی

۳- استاد مشاور اول

امضاء

دکتر غلامرضا کمالی

۴- استاد مشاور دوم

دکتر سید حسین مجتبی‌زاده

۵- داور خارج از گروه

تشکیل گردید و پس از ارزیابی پایان نامه توسط هیات داوران ، با درجه عالی و نمره به عدد ۱۸/۹۸

به حروف ^{حجده} ^{شصت} ^{هزار} ^{صهلور} تصویب قرار گرفت.

نماينده تحصیلات تکمیلی دانشگاه(ناظر)

نام و نام خانوادگی: دکتر مسعود آقا بزرگی

امضاء:

چکیده:

منطقه مورد مطالعه در بخش شرقی چهارگوش ۱:۲۵۰۰۰۰ انارد قسمت جنوبی کمربند آتشفشنایی-رسوبی ایران مرکزی بر روی کمربند مس ایران قرار دارد. به دلیل حضور کانسارهای معدنی مختلف به خصوص مس، این منطقه دارای پتانسیل بالا می باشد. در این تحقیق سعی شده است با تلفیق داده های ژئوفیزیک هوایی و تصاویر ماهواره ای موجود از منطقه و همچنین استفاده از معیارهای دیگر اکتشافی مانند ژئوشیمی و زمین شناسی، پتانسیل معدنی منطقه ارزیابی شود. کمپلکس آتشفشنایی-رسوبی اتوسن مهمترین واحد سنگ شناسی منطقه را تشکیل می دهد و توده های الیگوسن-میوسن نفوذی در آن باعث کانسارسازی و دگرسانی وسیعی در منطقه شده اند که توسط روش‌های ژئوفیزیک هوایی و تصاویر ماهواره ای قابل شناسایی هستند.

ولکانیک های منطقه مورد مطالعه در زون ارومیه دختر و کمربند مس زایی ایران قرار می گیرند و یک از پر پتانسیل ترین مناطق مس دار ایران می باشند. کانی زایی مس در منطقه مربوط به دوران ترشیر و عمدتاً از نوع پورفیری و رگه ای می باشد. عوامل ماغمایی، زمین ساخت و دگرسانی به عنوان سه معیار مهم زمین شناسی ارزیابی مس منطقه مورد بررسی قرار گرفته اند. با پردازش داده های مغناطیس هوایی با خط برد اشت $7/5$ Km و ۲۰۰ متر با روش های مختلف، مشخص شد که اکثر کمربند و لکانیکی منطقه به طور غیر عادی شدت مغناطیس پایین نشان می دهد که ثابت شد ناشی از دگرسانی گرمابی و حضور کانسارهای مس پورفیری است. این نواحی در بررسی رادیومتری هوابرد شمارش U , Th , K در منطقه ازشدت بالا برخوردار بودند که از این موضوع برای تفکیک مناطق دگرسانی و پتانسیل های معدنی استفاده شد.

با کمک روش های نسبت گیری طیفی، FCC و PCA، تصاویر ماهواره ای متعددی از منطقه تشکیل شد که نواحی با دگرسانی بالا را به خوبی تفکیک می کردند. در نهایت با تلفیق معیار های زمین شناسی، ژئوشیمی، دورسنجی و ژئوفیزیک هوایی و سایر اطلاعات موجود، پتانسیل معدنی نهایی منطقه در قالب یک نقشه معرفی شد.

فهرست مطالب

۱	مقدمه
۵	فصل اول : کلیات و بررسی زمین شناسی و اندیس های معدنی منطقه
۸	۱-۱-کلیات:
۱۰	۲-زمین شناسی ناحیه ای :
۱۳	۳-وضعیت ژئوتکتونیکی و ساختمانی منطقه :
۱۳	۴-چینه شناسی :
۱۳	۱-۴-۱-مزوزوئیک :
۱۳	۱-۱-۴-۱-کرتاسه:
۱۷	۲-۴-۱-سنوزوئیک :
۱۷	۱-۲-۴-۱-اوسن :
۱۸	۱-۱-۲-۴-۱-نهشته های رسویی اوسن زیرین :
۱۹	۲-۱-۲-۴-۱-سنگهای آتشفسانی اوسن پائین :
۲۰	۳-۱-۲-۴-۱-رسوبهای اوسن میانی-بالائی :
۲۰	۴-۱-۲-۴-۱-کمپلکس آتشفسانی و ولکانوکلستیکی اوسن میانی-بالائی :
۲۲	۵-۱-۲-۴-۱-کمپلکس آتشفسانی - رسویی اوسن میانی - بالائی جنوب و جوب شرقی
۲۲	جوزم :
۲۳	۱-۱-۲-۴-۱-کمپلکس آتشفسانی و ولکانوکلستیکی اوسن میانی - بالائی مناطق جنوبی
۲۳	۵۵ج :
۲۴	۱-۲-۴-۱-الیگوسن :
۲۴	۲-۴-۱-رسوبات نئوژن:
۲۴	۴-۲-۴-۱-پلیوسن :
۲۷	۳-۴-۱-رسوبهای کواترنر:
۲۷	۱-۵-ترکیب ساختاری منطقه :
۲۸	۱-۵-۱-زون آمیزه رنگین:
۲۸	۲-۵-۱-کوهستانهای مرتفع ناحیه دهچ-چnar:
۳۰	۶-۵-گرسانی گرمابی در منطقه مورد بررسی:
۳۳	۷-۱-کانه زائی معدنی و زمین شناسی اقتصادی منطقه :
۳۴	۱-۷-۱-معدن لاچاه :
۳۵	۲-۷-۱-معدن چاه مس:

۳۵.....	۱-۳-۷-۱-معدن سار:
۳۶.....	۱-۴-اندیس معدنی چهل دختران و اندیس های دیگر:
	فصل دوم: کاربرد مغناطیس سنجی هوایی و رادیومتری هوابرد در اکتشاف کاسارهای معدنی
۴۱.....	۱-۲-مقدمه:
۴۳.....	۲-۲-مغناطیس زمین:
۴۳.....	۱-۲-۲-عناصر مغناطیس زمین و خواص مشخصه آن ها:
۴۵.....	۲-۳-خواص مغناطیسی اجسام و کانی ها:
۴۵.....	۱-۳-۲-کانی های دیامغناطیس:
۴۶.....	۲-۳-۲-کانی های پارامغناطیس:
۴۶.....	۳-۳-۲-کانی های فرومغناطیس:
۴۶.....	۴-۳-۲-خودپذیری مغناطیسی:
۴۷.....	۴-۲-خواص مغناطیسی سنگ ها:
۴۸.....	۵-۲-اندازه گیری های مغناطیسی:
۴۹.....	۶-۲-انتخاب طرح مسیر و ارتفاع پرواز:
۵۰.....	۷-۲-برتری های مغناطیس سنج های هوایی:
۵۰.....	۸-۲-عيوب مغناطیس سنجی هوایی:
۵۱.....	۹-۲-تصحیح یافته های هوایی:
۵۱.....	۱۰-۲-آنومالی ناحیه ای و باقیمانده:
۵۲.....	۱۱-۲-تفکیک آنومالی ها:
۵۲.....	۱۱-۲-روش برآش چند جمله ای:
۵۳.....	۱۱-۲-روش ادامه فراسو:
۵۴.....	۱۱-۲-تبدیل به قطب(RTP):
۵۵.....	۱۲-۲-تفسیر نقشه های مغناطیسی:
۵۶.....	۱۳-۲-تعبیر و تفسیر کیفی یافته های مغناطیسی:
۵۸.....	۱۴-۲-استفاده از یافته های مغناطیسی در تکمیل نقشه های زمین شناسی:
۵۹.....	۱۵-۲-اکتشاف مغناطیسی برای کاسنگ آهن:
۵۹.....	۱۶-۲-اکتشاف مغناطیسی برای کانی های غیر مغناطیسی:
۶۰.....	۱۷-۲-اکتشاف مغناطیسی برای مواد هیدرو کربنی:
۶۰.....	۱۸-۲-روش مغناطیس هوابرد:
۶۱.....	۱۹-۲-کاربردهای روشنگ مغناطیس هوابرد:
۶۲.....	۲۰-۲-اطلاعات مغناطیسی ناحیه ای کل ایران:
۶۲.....	۲۰-۲-اطلاعات ژئوفیزیک هوابرد سازمان انرژی اتمی ایران:

۶۳.....	۲۰-۲-اطلاعات ناحیه ای شرکت ملی مس ایران:
۶۴.....	۲۱-۲-مراحل انجام یک پروژه ژئوفیزیک هوایی:
۶۶.....	۲۲-۲-روش رادیومتری هوابرد:
۶۷.....	۱-۲۲-۲-پتابسیم:
۶۸.....	۲-۲۲-۲-اورانیم:
۶۸.....	۳-۲۲-۲-توریم :
۶۹.....	۲۳-۲-کاربردهای رادیومتری هوابرد:
	فصل سوم: تفسیر داده های ژئوفیزیک هوایی منطقه مورد نظر
۷۱.....	۱-۳-مقدمه:
۷۲.....	۳-۲-تفسیر کیفی نقشه های $7/5 \text{ km}$ شدت مغناطیسی کل منطقه:
۷۴.....	۱-۲-۳-بررسی آنومالی های منفی نقشه مغناطیسی $7/5 \text{ km}$:
۷۵.....	۲-۲-۳-بررسی آنومالی های مثبت نقشه مغناطیسی $7/5 \text{ km}$:
۷۶.....	۳-۲-۳-روش ادامه فراسو برای پردازش نقشه $7/5 \text{ km}$ شدت مغناطیسی کل منطقه:
۸۲.....	۴-۲-۳-روش برآش چند جمله ای برای پردازش نقشه $7/5 \text{ km}$ مغناطیسی کل منطقه:
۸۶.....	۳-۳-تفسیر کیفی نقشه های 200 m متراشت مغناطیسی کل منطقه:
۸۸.....	۱-۳-۳-بررسی آنومالی های منفی نقشه مغناطیسی هوایی کل داده های 200 m مترا:
۹۱.....	۲-۳-۳-بررسی آنومالی های مثبت نقشه مغناطیسی هوایی کل داده های 200 m مترا:
۹۲.....	۳-۳-۳-تفسیر کیفی نقشه شدت مغناطیسی 200 m کل منطقه با روش ادامه فراسو:
۹۳.....	۴-۳-۳-تفسیر کیفی نقشه شدت مغناطیسی هوایی 200 m کل منطقه با روش برآش
۹۸.....	چند جمله ای:
۱۰۲.....	۵-۳-۳-تفسیر کیفی نقشه تبدیل به قطب (RTP) داده های مغناطیسی هوایی 200 m منطقه:
۱۰۳.....	۴-۴-تفسیر نقشه شدت مغناطیسی هوایی 1 Km کل منطقه (تهیه توسط یوگسلاوهایا):
۱۰۶.....	۵-۴-تفسیر نقشه های رادیومتری هوابرد منطقه:
۱۰۷.....	۱-۵-۳-تفسیر کیفی نقشه رادیومتری شمارش پتابسیم منطقه:
۱۰۹.....	۲-۵-۳-تفسیر کیفی نقشه رادیومتری شمارش توریم منطقه:
۱۱۱.....	۳-۵-۳-تفسیر کیفی نقشه رادیومتری شمارش اورانیوم منطقه:
۱۱۳.....	۴-۵-۳-تفسیر کیفی نقشه رادیومتری شمارش کل سه عنصر $\text{U}, \text{Th}, \text{K}$ منطقه:
۱۱۵.....	۵-۵-۳-تفسیر کیفی نقشه رادیومتری هوایی منطقه تهیه شده توسط یوگسلاوهایا:
	فصل چهارم: پردازش و تفسیر تصاویر ماهواره ای منطقه مورد مطالعه
۱۱۸.....	۱-۴-مقدمه:
۱۱۸.....	۲-۴-تعریف سنجش از دور:

۱۱۹	۳-۴-طیف الکترومغناطیس:
۱۲۲	۴-۴-اصطلاحات مهم در مورد ماهواره ها:
۱۲۲	۱-۴-۴-قدرت تفکیک طیفی:
۱۲۲	۲-۴-۴-قدرت تفکیک مکانی:
۱۲۲	۳-۴-۴-قدرت تفکیک زمانی:
۱۲۲	۴-۴-۴-دوره بازگشت یا دوره تکرار تصویربرداری:
۱۲۳	۵-۴-۴-پیکسل:
۱۲۳	۶-۴-۴-عدد رقومی:
۱۲۳	۴-۵-انواع ماهواره های معروف:
۱۲۶	۴-۶-پردازش تصاویر ماهواره ای:
۱۲۶	۶-۶-آمار تصویر :
۱۲۷	۶-۶-هیستوگرام:
۱۲۸	۳-۶-۴-مهمنترین تکنیک های پردازش تصاویر ماهواره ای مورد استفاده در این پروژه:
۱۲۸	۱-۳-۶-۴-ترکیب رنگی کاذب (FCC) :
۱۲۸	۲-۳-۶-۴-تجزیه و تحلیل مولفه های اصلی (PCA):
۱۲۹	۳-۶-۴-نسبت گیری طیفی :
۱۳۰	۷-۴-ویژگیها و منحنی انعکاس طیفی پدیده های مختلف:
۱۳۱	۱-۷-۴-انعکاس طیفی خاک :
۱۳۲	۲-۷-۴-منحنی های انعکاس طیفی کانیها و سنگها:
۱۳۴	۸-۴-کاربرد سنجش از دور در شاخه های مختلف زمین شناسی:
۱۳۴	۱-۸-۴-سنگ شناسی :
۱۳۴	۱-۱-۸-۴-سنگ های رسوبی:
۱۳۵	۲-۱-۸-۴-سنگ های دگر گونی:
۱۳۵	۳-۱-۸-۴-سنگ های آذرین:
۱۳۶	۲-۸-۴-تشخیص ساختارها :
۱۳۶	۳-۸-۴-کاربرد سنجش از دور در اکتشاف کانسارها:
۱۳۷	۹-۴-پردازش تصاویر ماهواره ای منطقه مورد نظر:
۱۳۹	۱-۹-۴-روش اکتشاف ذخایر مس پورفیری به کمک تصاویر ماهواره ای:
۱۴۰	۲-۹-۴-ماتریس همبستگی باندهای تصاویر منطقه:
۱۴۰	۳-۹-۴-شاخص OIF باندهای تصاویر منطقه:
۱۴۲	۴-۹-۴-تفسیر کیفی تصویر ماهواره ای منطقه با روش نسبت گیری طیفی:
۱۴۵	۵-۹-۴-تفسیر کیفی تصاویر ماهواره ای منطقه با روش ترکیب رنگی کاذب (FCC):

۱-۵-۹-۴	- عمل ترکیب رنگی کاذب(FCC) بر روی باندهای تصاویر منطقه:.....	۱۴۵
۲-۵-۹-۴	- عمل FCC بر روی تصاویر نسبتی از منطقه و تفسیر دگرسانی ها:.....	۱۵۰
۳-۵-۹-۴	- عمل FCC بر روی تصاویر تفريقي از منطقه و تفسير دگرسانی ها:.....	۱۵۷
۴-۵-۹-۴	- عمل FCC بر روی تصاویر PCA از منطقه و تفسير دگرسانی ها:.....	۱۵۹
فصل پنجم: تلفيق اطلاعات زمين شناسی، ژئوفيزيك هوائي، دورسنجی و ژئوشيمی منطقه و معرفی پتانسيل های معدني		
۱-۵	- مقدمه:.....	۱۶۵
۲-۵	- معیار های زمین شناسی و معرفی پتانسيل های معدني منطقه:.....	۱۶۶
۱-۲-۵	- ابزارها و معیارهای زمین شناسی ارزیابی کانی زایی مس در منطقه:.....	۱۶۸
۱-۱-۲-۵	- عوامل ماگمايی:.....	۱۶۸
۱-۲-۵	- زمین ساخت:.....	۱۶۸
۱-۲-۳-۱-۲-۵	- دگرسانی:.....	۱۶۹
۱-۲-۲-۵	- معرفی پتانسيل معدني منطقه با معیار زمین شناسی:.....	۱۶۹
۱-۳-۵	- معیار های ژئوشيميايی و معرفی پتانisel های معدني منطقه:.....	۱۷۱
۱-۴-۵	- معیار های دور سنجی و معرفی پتانisel های معدني منطقه:.....	۱۷۵
۱-۵-۵	- معیار های ژئوفيزيك هوائي و معرفی پتانisel های معدني منطقه:.....	۱۷۷
۱-۵-۵	- معرفی پتانisel معدني منطقه با داده های $7/5 \text{ Km}$ مغناطيس هوائي:.....	۱۷۷
۱-۵-۵	- معرفی پتانisel معدني منطقه با داده های 200 متر مغناطيس هوائي:.....	۱۷۸
۱-۳-۵-۵	- معرفی پتانisel معدني منطقه با داده های راديومتری هوابرد(K,Th.U):.....	۱۸۱
۱-۶-۵	- معرفی پتانisel معدني منطقه با داده های 1 Km ژئوفيزيك هوائي تهيه شده توسط يوغسلاوي ها در سال ۱۹۷۳:.....	۱۸۳
۱-۷-۵	- معرفی پتانisel معدني منطقه با داده های $1:100000$ شهربابك:.....	۱۸۶
۱-۸-۵	- ارزیابی نهايی پتانisel معدني منطقه با تلفيق معیار های زمین شناسی، ژئوشيمی، ژئوفيزيك هوائي و دور سنجی و سایر اطلاعات موجود:.....	۱۸۸
فصل ششم: نتیجه گيري و پيشنهادات		
۱-۶	- نتیجه گيري:.....	۱۹۱
۱-۶	- پيشنهادها:.....	۱۹۳
فهرست منابع و مأخذ		۱۹۷

فهرست شکل ها

شماره صفحه	شماره شکل
۷.....	شکل (۱-۱): کروکی منطقه مورد مطالعه بر روی نقشه ۱:۲۵۰۰۰۰ انار
۹.....	شکل (۲-۱): نقشه زمین شناسی منطقه مورد مطالعه
۱۲.....	شکل (۱-۳): نقشه گسل های منطقه، تهیه شده به کمک نرم افزار Arcview
۳۹.....	شکل (۱-۴): انطباق اندیس های معدنی منطقه با شماره بر روی نقشه زمین شناسی
۴۴.....	شکل (۲-۱): مؤلفه های میدان مغناطیسی زمین
۴۹.....	شکل (۲-۲): طرح استاندارد مسیرهای پرواز در برداشت های هوایی
۵۵.....	شکل (۲-۳): مقطع تبدیل به قطب برای یک توده مغناطیسی
۶۳.....	شکل شماره (۴-۲): نقشه شدت میدان مغناطیسی کل ایران با فاصله ۷/۵ km
۷۳.....	شکل (۳-۱): نقشه شدت مغناطیسی کل منطقه با داده های ۷/۵ km با نرم افزار Surfer
۷۳.....	شکل (۳-۲): انطباق نقشه شدت مغناطیسی کل منطقه با داده های ۷/۵ km با نرم افزار Magpick بر روی نقشه زمین شناسی
۷۷.....	شکل (۳-۳): نقشه ادامه فراسو داده های ۷/۵ km در ارتفاع ۱۰۰۰ متر
۷۷.....	شکل (۴-۳): نقشه ادامه فراسو داده های ۷/۵ km در ارتفاع ۳۰۰۰ متر
۸۰.....	شکل (۳-۴): نقشه ادامه فراسو با داده های ۷/۵ km در ارتفاع ۶۰۰۰ متر
۸۰.....	شکل (۳-۵): نقشه باقیمانده ادامه فراسو داده های ۷/۵ km در ارتفاع ۶۰۰۰ متر
۸۱.....	شکل (۳-۶): نقشه ادامه فراسو داده های ۷/۵ km در ارتفاع ۱۰۰۰۰ متر
۸۱.....	شکل (۳-۷): نقشه ادامه فراسو داده های ۷/۵ km در ارتفاع ۲۰۰۰۰ متر
۸۴.....	شکل (۳-۸): نقشه برآذش چند جمله ای درجه ۱ داده های ۷/۵ km
۸۴.....	شکل (۳-۹): نقشه برآذش چند جمله ای درجه ۲ داده های ۷/۵ km
۸۵.....	شکل (۳-۱۰): نقشه برآذش چند جمله ای درجه ۳ داده های ۷/۵ km
۸۵.....	شکل (۳-۱۱): نقشه برآذش چند جمله ای درجه ۳ داده های ۷/۵ km
۸۵.....	شکل (۳-۱۲): نقشه باقیمانده برآذش چند جمله ای درجه داده های ۷/۵ km

شکل(۱۳-۳): نقشه برازش چند جمله ای درجه ۴ شدت داده های	۷/۵ km	۸۶
شکل(۱۴-۳): نقشه شدت مغناطیس کل منطقه با داده های ۲۰۰ متر		۸۹
شکل(۱۵-۳): انطباق نقشه شدت مغناطیس کل منطقه با داده های ۲۰۰ متر با نرم افزار		
Magpick بروی نقشه زمین شناسی		۸۹
شکل(۱۶-۳): انطباق نقشه شدت مغناطیس کل منطقه با داده های ۲۰۰ متر		
با نرم افزار Geosoft بروی نقشه زمین شناسی		۹۰
شکل(۱۷-۳): نقشه ادامه فراسو داده های ۲۰۰ متر در ارتفاع ۲۰۰ متر		۹۴
شکل(۱۸-۳): نقشه ادامه فراسو داده های ۲۰۰ متر در ارتفاع ۴۰۰ متر		۹۴
شکل(۱۹-۳): نقشه ادامه فراسو داده های ۲۰۰ متر در ارتفاع ۱۰۰۰ متر		۹۵
شکل(۲۰-۳): نقشه ادامه فراسو داده های ۲۰۰ متر در ارتفاع ۲۰۰۰ متر		۹۵
شکل(۲۱-۳): نقشه ادامه فراسو داده های ۲۰۰ متر در ارتفاع ۴۰۰۰ متر		۹۶
شکل(۲۲-۳): نقشه ادامه فراسو داده های ۲۰۰ متر در ارتفاع ۱۰۰۰۰ متر		۹۶
شکل(۲۳-۳): نقشه ادامه فراسو داده های ۲۰۰ متر در ارتفاع ۵۰۰۰ متر		۹۷
شکل(۲۴-۳): نقشه باقیمانده ادامه فراسو داده های ۲۰۰ متر در ارتفاع ۵۰۰۰ متر		۹۷
شکل(۲۵-۳): نقشه برازش چند جمله ای درجه ۱ داده های ۲۰۰ متر		۱۰۰
شکل(۲۶-۳): نقشه برازش چند جمله ای درجه ۲ داده های ۲۰۰ متر		۱۰۰
شکل(۲۷-۳): نقشه برازش چند جمله ای درجه ۳ داده های ۲۰۰ متر		۱۰۱
شکل(۲۸-۳): نقشه باقیمانده برازش چند جمله ای درجه ۳ داده های ۲۰۰ متر		۱۰۱
شکل(۲۹-۳): نقشه برازش چند جمله ای درجه ۴ داده های ۲۰۰ متر		۱۰۲
شکل (۳۰-۳): نقشه تبدیل به قطب (RTP) داده های ۲۰۰ متر منطقه		۱۰۳
شکل (۳۱-۳): نقشه ژئوفیزیک هوایی منطقه تهیه شده توسط شرکت یوگسلاوی بیوگراد		۱۰۵
شکل(۳۲-۳): نقشه رادیومتری شمارش پتابسیم منطقه با داده های ۲۰۰ متر		۱۰۸
شکل(۳۳-۳): نقشه رادیومتری شمارش توریم منطقه با داده های ۲۰۰ متر		۱۱۰

- شکل (۳۴-۳): نقشه رادیومتری شمارش اورانیوم منطقه با داده های ۲۰۰ متر ۱۱۲
- شکل (۳۵-۳): نقشه رادیومتری شمارش کل سه عنصر K, Th, U منطقه ۱۱۴
- شکل (۳۶-۳): نقشه رادیومتری هوایی منطقه تهیه شده توسط شرکت یوگسلاوی بیوگراد ۱۱۶
- شکل (۴-۱): فرآیند کلی و عناصر مؤثر در سنجش از دور الکترومغناطیسی منابع زمین ۱۲۰
- شکل (۴-۲): بازتاب طیفی آلونیت، ایلیت، مونت موریلونیت و کائولینیت ۱۳۳
- شکل (۴-۳): منحنی های انعکاس طیفی برای کانیهای رسی، پوشش گیاهی، مواد آلی و ۱۳۳
- شکل (۴-۴): تصویر ماهواره ای باند ۱ سنجنده TM7 از منطقه مورد مطالعه ۱۳۸
- شکل (۴-۵): تصویر نسبت ۵/۷ از منطقه، مناطق دگرسانی با رنگ قرمز متمایل به صورتی ۱۴۳
- شکل (۴-۶): تصویر نسبت ۴/۳ از منطقه، پوشش گیاهی به صورت پیکسل های سفید ۱۴۴
- شکل (۴-۷): تصویر ترکیب رنگی ۷-۴-۲ در RGB، واحد های زمین شناسی منطقه ۱۴۸
- شکل (۴-۸): انطباق تصویر ترکیب رنگی ۷-۴-۲ در RGB بر روی نقشه زمین شناسی منطقه ۱۴۹
- شکل (۴-۹): تصویر ترکیب نسبت های ۵/۷، ۳/۲ و ۴/۳ در RGB، دگرسانی با رنگ زرد ۱۵۲
- شکل (۴-۱۰): تصویر ترکیب نسبت های ۵/۷، ۳/۱ و ۴/۵ در RGB دگرسانی با رنگ زرد ۱۵۴
- شکل (۴-۱۱): تصویر ترکیب نسبت های ۳/۱، ۵/۴ و ۵/۷ در RGB دگرسانی با رنگ سفید ۱۵۶
- شکل (۴-۱۲): ترکیب رنگی کاذب سه تصویر تفریقی (۴-۷)، (۴-۲) و (۴-۳) در رنگ های قرمز- سبز و آبی: دگرسانی با رنگ صورتی مشخص شده است ۱۵۸
- شکل (۴-۱۳): ترکیب رنگی کاذب مؤلفه های پنجم، چهارم و سوم PCA در سیستم دگرسانی منطقه با رنگ قرمز متمایل به نارنجی دیده می شود ۱۶۱
- شکل (۴-۱۴): ترکیب رنگی کاذب مؤلفه های پنجم، چهارم PCA و باند ۴ در سیستم دگرسانی منطقه با رنگ صورتی متمایل به قرمز دیده می شود ۱۶۲
- شکل (۴-۱۵): ترکیب رنگی کاذب مؤلفه های پنجم، سوم و اول PCA در سیستم دگرسانی منطقه با رنگ صورتی پر رنگ دیده می شود ۱۶۴
- شکل (۴-۱۶): نقشه سنگ های ولکانیکی منطقه و معرفی پتانسیل های مس در آنها ۱۷۰

..... شکل(۲-۵): نقشه ژئوشیمی منطقه و پراکندگی عناصر بر روی آن	۱۷۲
..... شکل(۳-۵): انطباق نقشه ژئوشیمی منطقه بر روی نقشه زمین شناسی	۱۷۴
..... شکل (۴-۵): ارزیابی پتانسیل معدنی منطقه با معیار دور سنجی	۱۷۶
..... شکل (۵-۵): پتانسیل معدنی منطقه با داده های Km ۷/۵ مغناطیس هوایی	۱۷۹
..... شکل (۵-۶): پتانسیل معدنی منطقه با داده های ۲۰۰ متر مغناطیس هوایی	۱۸۰
..... شکل(۵-۷): پتانسیل معدنی منطقه با داده های رادیومتری هوابرد(K,Th.U)	۱۸۲
..... شکل(۸-۵): پتانسیل معدنی منطقه با داده های Km ۱ ژئو فیزیک هوایی تهیه شده توسط شرکت یوگسلاوی بیو گراد در سال ۱۹۷۳	۱۸۴
..... شکل(۹-۵): انطباق ذخایر معدنی منطقه بر نقشه زمین شناسی تهیه شده توسط شرکت یوگسلاوی بیو گراد در سال ۱۹۷۳	۱۸۵
..... شکل (۱۰-۵) : توزیع ذخایر معدنی ورقه ۱:۱۰۰۰۰ شهر بابک	۱۸۷
..... شکل(۱۱-۵): ارزیابی نهایی پتانسیل معدنی منطقه با تلفیق معیار های زمین شناسی، ژئوشیمی، ژئوفیزیک هوایی و دور سنجی و سایر اطلاعات موجود	۱۸۹

فهرست جداول

شماره صفحه	شماره جدول
۳۸	جدول (۱-۱): فهرست ذخائر معدنی مهم موجود در منطقه
۴۸	جدول (۱-۲) : ضریب القاء مغناطیسی بعضی از اجسام
۱۰۷	جدول (۱-۳) : کانی های رادیو اکتیو و سنگ های در بر گیرنده آنها
۱۱۳	جدول (۲-۳) : مقادیر رادیومتری در کانسار میدوک و اطراف آن (مقادیر بر حسب CPS)
۱۲۱	جدول (۱-۴) : قسمت های مختلف طیف الکترومغناطیس
۱۴۰	جدول (۲-۴) : ماتریس همبستگی بین باندهای تصاویر ماهواره ای منطقه
۱۴۱	جدول (۳-۴) : شاخص OIF برای باند های تصاویر ماهواره ای منطقه
۱۸۶	جدول (۱-۵) : توزیع ذخائر معدنی ورقه ۱:۱۰۰۰۰ شهر بابک

مقدمه :

بشر از آغاز پیدایش برای ادامه حیات به زمین و مواد تشکیل دهنده آن متکی بوده است. بنابراین کانی های موجود در پوسته زمین به نسبت اهمیت، همیشه مورد توجه انسان بوده و تلاش برای یافتن کانسارهای جدید و یا گسترش و استفاده هر چه بیشتر از کانسارهای موجود همچنان ادامه دارد. از میان انواع فراوان کانی ها، کانی های فلزی از جایگاه اصلی برخوردار هستند. نیاز روزافزون به فلزات پایه نظیر آهن، مس، سرب و روی از یک طرف و کاهش منابع سهل الوصول و سطحی این عناصر از طرف دیگر موجب شده تا ذخایر عمیق تر این فلزات مورد توجه قرار گیرند، بنابراین کشف این کانسارها روش های پیشرفته تر و پیچیده تر را در مطالعات اکتشافی طلب می کند.

روش های اکتشاف سطحی نظیر دور سنجی، ژئوشیمی و ژئوفیزیکی روش هایی هستند که نسبت به روش های حفاری بسیار ارزانتر و کم هزینه تر هستند، لذا این روش ها در بسیاری موارد باعث کاهش ریسک های هزینه ادامه عملیات اکتشافی و سرمایه گذاری می شوند.

کمربند ولکانیکی ارومیه - دختر که در نتیجه فرورانش پوسته اقیانوسی نئوتیس به زیر صفحه ایران مرکزی تشکیل شده است، دارای اهمیت ژنتیکی بالایی می باشد. این کمربند ولکانیکی محل مناسبی جهت اکتشاف مس پورفیری و پتانسیل های دیگر معدنی می باشد.

پس از بررسی نقشه زمین شناسی ۱:۲۵۰۰۰۰ اثار، مشخص شد که اکثر کانسارهای مهم معدنی، بر روی کمربند ولکانیکی منطقه در شرق نقشه قرار دارد. از طرفی برداشت داده های ژئوفیزیک هوایی ۲۰۰ متر شامل مغناطیس سنجی و رادیومتری هوابرد توسط شرکت ملی مس ایران، تنها بر روی محدوده ولکانیک های شرق منطقه انجام شده بود.

با توجه به موارد ذکر شده و گستردگی نقشه ۱:۲۵۰۰۰۰ اثار و تمرکز پتانسیل های معدنی در شرق نقشه و ولکانیک های شمال شهریابک و با نظر استادان راهنمای، تصمیم گرفته شد که محدوده پی جویی از کل نقشه به محدوده ای در شرق چهار گوش اثار که در کروکی شکل (۱-۱) از فصل اول نشان داده شده است، تغییر داده شود تا بتوان ارزیابی دقیق تری به کمک داده های

ژئوفیزیکی هواپی با خط برد اشت ۲۰۰ متر انجام داد.

به طور کلی این پروژه در شش فصل تهیه و تنظیم شده است. در فصل اول، کلیات، زمین شناسی و اندیس های معدنی منطقه مورد بررسی قرار گرفته اند. در این فصل در مورد زمین شناسی ناحیه ای، ساختمنی و اقتصادی و همچنین چینه شناسی واحد های زمین شناسی و دگرسانی گرمابی وسیع موجود در منطقه مورد مطالعه صحبت شده است. نقشه گسل ها و اندیس های مهم معدنی موجود در منطقه نیز تهیه شده است.

رونده عمومی ساختار های منطقه، شمال غربی-جنوب شرقی می باشد و کانسار سازی مس از دو نوع پورفیری و رگه ای بوده که عمدتاً بر روی کمربند ولکانیکی مس منطقه که بخشی از زون ارومیه-دختر می باشد، قرار دارد. با استفاده از منابع مختلف، جدولی از لیست مهمترین اندیس های معدنی منطقه در آخر این فصل آورده شده است که همین اندیس ها با شماره بر روی نقشه زمین شناسی منطقه نشان داده شده است.

در فصل دوم کاربرد روش های مغناطیس سنجی هواپی و رادیومتری هوابرد در اکتشاف کانسار های معدنی مورد بررسی قرار گرفته و مبانی روش های پردازش داده های ژئوفیزیک هواپی منطقه مانند روش های برآش چندجمله ای، ادامه فراسو و تبدیل به قطب در این فصل توضیح داده شده است.

در فصل سوم، تعبیر و تفسیر داده های ژئوفیزیک هواپی منطقه آورده شده است. این فصل شامل دو بخش اصلی تفسیر داده های مغناطیس سنجی هواپی و بررسی و تفسیر نقشه های رادیومتری هوابرد موجود از منطقه می باشد. در ابتدا به کمک داده های $\frac{7}{5}$ کیلومتر مغناطیس سنجی هواپی موجود از کل منطقه و استفاده از روش های برآش چند جمله ای و ادامه فراسو، روند ساختاری و دگرسانی وسیع موجود در منطقه مورد بررسی قرار گرفت. در مرحله بعد از داده های ۲۰۰ متر استفاده شد و علاوه بر دو روش قبلی، روش تبدیل به قطب نیز بر روی این داده ها انجام شد. در بخش رادیومتری هوابرد از ۴ نقشه شمارش پتابسیم، توریم، اورانیوم و شمارش کل هر سه استفاده شد و با انطباق این نقشه ها بر روی نقشه زمین شناسی منطقه، نقاط دگرسانی و

پتانسیل دار معدنی منطقه به کمک روش ژئوفیزیک هوایی مشخص شد. همچنین در این فصل از نقشه های ژئوفیزیک هوایی تهیه شده توسط شرکت یوگسلاوی بیوگراد در سال ۱۹۷۳ نیز استفاده شده است.

در فصل چهارم، ابتدا به اختصار در مورد روش سنجش از دور و کاربرد آن در اکتشاف معدن صحبت شده است. در مرحله بعد با بررسی ماتریس همبستگی و شاخص OIF شش باند تصویر ماهواره ای منطقه مربوط به سنجنده TM لندست ۷، با استفاده از روش های نسبت گیری طیفی، تجزیه مؤلفه های اصلی (PCA) و تصاویر تفریقی، بهترین ترکیب های رنگی کاذب (FCC) از تصاویر ماهواره ای منطقه ساخته شد که هدف اصلی از آنها تشخیص هاله های دگرسانی موجود در منطقه و بررسی دقیق تر واحدهای سنگی در نقشه زمین شناسی منطقه بود.

در فصل پنجم با استفاده از تلفیق معیارهای زمین شناسی (شامل مآگماهی، ساختاری و دگرسانی)، ژئوشیمی، ژئوفیزیک هوایی و دورسنجی منطقه که در فصل های گذشته مورد بررسی قرار گرفته بودند و همچنین استفاده از نتایج تحقیقات شرکت یوگسلاوی بیوگراد در کل منطقه و سازمان زمین شناسی و اکتشافات معدنی کشور در چهارگوش ۱:۱۰۰۰۰ شهریابک، پتانسیل نهایی معدنی منطقه ارزیابی شد و در قالب نقشه ای در انتهای این فصل آورده شده است.

در فصل ششم، نتیجه گیری و پیشنهادها از کل این پایان نامه آورده شده است. در پایان لازم به ذکر است که ارزیابی تانسیل معدنی انجام شده در این پروژه تنها در حد شناسایی بوده و امید است در آینده نزدیک با روش های اکتشافی دقیق تر زمینی و عملیات صحرایی، مناطق معرفی شده در این تحقیق مورد اکتشاف دقیق تر قرار بگیرند و کانسارهای معدنی جدید و سود آور برای کشور کهن و زرخیز ایران زمین یافت شود.